

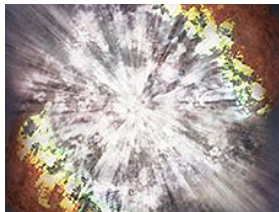
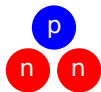


Materia nuclear y la ecuación de estado de estrellas de neutrones

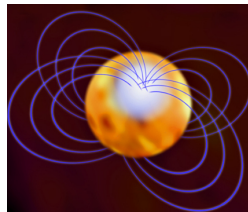
Felipe Isaule

Viernes 3 de Junio de 2015

- 1 Introducción
- 2 La aproximación de Brueckner-Hartree-Fock
- 3 Estrellas de neutrones
- 4 Conclusiones



Supernova



Estrella de neutrones

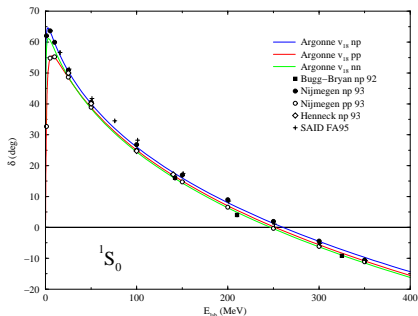
$V_{NN}, V_{NNN}, \dots \longrightarrow$ Materia Nuclear

La interacción nuclear

- Interacción nucleón-nucleón (NN):
Argonne v₁₈ (AV18), Paris, etc



- Interacción *realista* si reproduce datos experimentales de dos cuerpos
- Contribuciones de tres cuerpos (3N)



R. B. Wiringa et al., Phys. Rev. C **51**, 38 (1995)
<https://www.phy.anl.gov/theory/research/av18/>

Fuerzas quirales

Es posible construir interacciones nucleares a partir de una teoría efectiva quiral (χ EFT).

	NN	3N	4N
LO $\mathcal{O}\left(\frac{Q^1}{\Lambda^1}\right)$		—	—
NLO $\mathcal{O}\left(\frac{Q^2}{\Lambda^2}\right)$		—	—
N2LO $\mathcal{O}\left(\frac{Q^3}{\Lambda^3}\right)$			—
N3LO $\mathcal{O}\left(\frac{Q^4}{\Lambda^4}\right)$			

Fuerzas quirales

Es posible construir interacciones nucleares a partir de una teoría efectiva quiral (χ EFT).

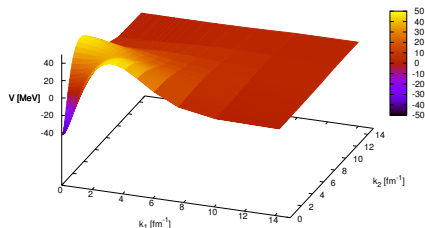
	NN	3N	4N
LO $\mathcal{O}\left(\frac{Q^1}{\Lambda^1}\right)$		—	—
NLO $\mathcal{O}\left(\frac{Q^2}{\Lambda^2}\right)$		—	—
N2LO $\mathcal{O}\left(\frac{Q^3}{\Lambda^3}\right)$			—
N3LO $\mathcal{O}\left(\frac{Q^4}{\Lambda^4}\right)$			

N3LO_{2N}

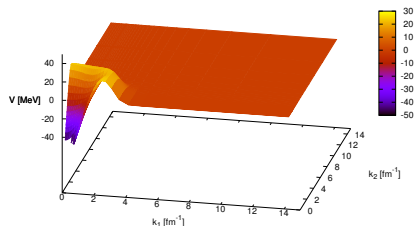
N2LO_{3N}

Potencial NN en espacio de momento $V(k, k')$ en canal 1S_0 :

AV18



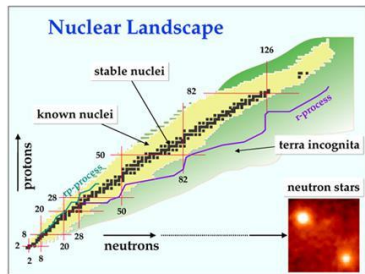
N3LO $_2N$



Materia Nuclear

Materia nuclear infinita:

- Sistema de muchos fermiones interactuantes
- Densidad de nucleones $\rho = \rho_n + \rho_p$
- $\beta = (\rho_n - \rho_p)/(\rho_n + \rho_p)$
- Materia simétrica: $\rho_n = \rho_p$ ($\beta = 0$)
- Materia neutrónica: $\rho_p = 0$ ($\beta = 1$)



<http://www.physics.uoguelph.ca/Nucweb/nuclearstructure.html>

$$B(A, Z) = a_V A - a_S A^{2/3} - a_C \frac{Z^2}{A^{1/3}} - a_A \frac{(N - Z)^2}{A} + \frac{\delta}{A^{1/2}}$$

- Energía de saturación:

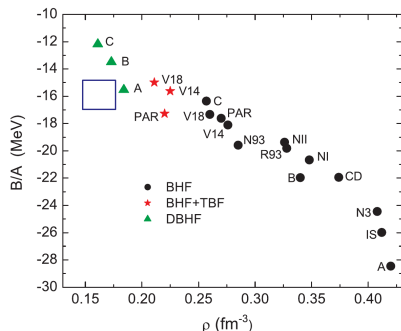
$$\frac{B}{A} \xrightarrow{A \rightarrow \infty} -a_V = -16 \pm 1 \text{ MeV}$$

- Densidad de saturación:

$$\rho_0 \approx 0.17 \text{ fm}^{-3}$$

- Esquemas *ab-initio*: BHF, SCGF, DBHF

- No ha sido posible describir el punto de saturación nuclear: Banda de Coester



Li et al., Phys. Rev. C **74**, 047304 (2006)

La aproximación de Brueckner-Hartree-Fock (BHF)

- Materia nuclear infinita $\rho = \rho_n + \rho_p$

- $T = 0$: $n(k) = \Theta(k_F - k)$

- Momentum de Fermi:

$$\rho = \nu \frac{k_F^3}{6\pi^2}$$

- Materia simétrica ($\nu = 4$) y neutrónica ($\nu = 2$)
- AV18, N3LO_{2N}, N3LO_{2N}+N2LO_{3N}, Paris, Nijmegen I, Nijmegen II
- Inclusión de di-nucleones:
Arellano - Delaroche, Eur. Phys. J. A **51**, 7 (2015)

Nucleones en el medio quedan descritos por la matriz g

$$g(\omega) = v + v \frac{Q}{\omega + i\eta - e_1 - e_2} g(\omega)$$

La aproximación de Brueckner-Hartree-Fock (BHF)

Cálculo auto-consistente:

- Dado un potencial de partícula independiente $U(k)$:

$$e_i = \frac{k_i^2}{2m} + U(k_i)$$

- Se resuelve para distintos canales NN (L, S):

$$g(\omega) = v + v \frac{Q}{\omega + i\eta - e_1 - e_2} g(\omega)$$

- Se evalúa el operador de masa:

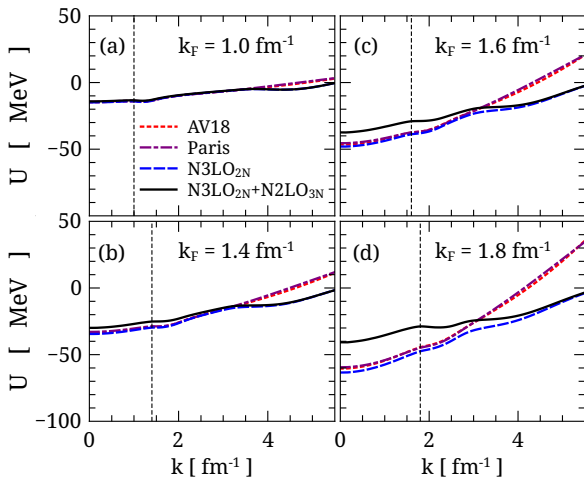
$$M(k; e_k) = \sum_{|p| \leq k_F} \langle \frac{1}{2}(k-p) | g_K(e_k + e_p) | \frac{1}{2}(k-p) \rangle$$

- Se obtiene un nuevo $U'(k)$

$$U'(k) = \Re \epsilon M(k; e_k)$$

Cálculo auto-consistente

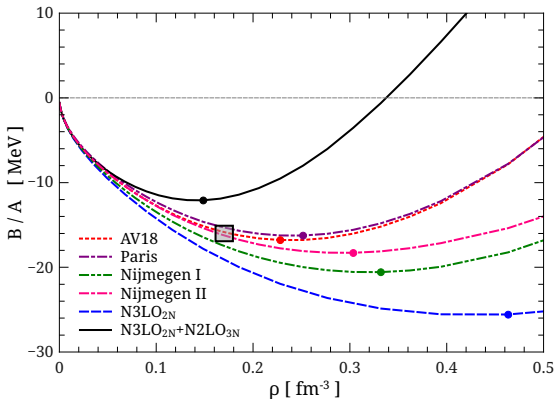
$\bullet \sum_{\text{estados}}^{2S+1} L_J \rightarrow \frac{{}^1S_0, {}^1D_2, {}^1G_4, {}^1I_6, {}^1P_1, {}^1F_3, {}^1H_5, {}^1K_7, {}^3P_0, {}^3P_1, {}^3F_3, {}^3H_5, {}^3H_7, {}^3D_2, {}^3G_4, {}^3I_6, {}^3PF_2, {}^3FH_4, {}^3HK_6, {}^3SD_1, {}^3DG_3, {}^3GI_5, {}^3IL_7}$



Energía por nucleón

A partir de interacción de **dos cuerpos**:

$$B/A = \frac{3}{10} \frac{\hbar^2 k_F^2}{m} + \frac{1}{2} \frac{3}{k_F^3} \int_0^{k_F} k^2 dk U(k) \rightarrow \frac{K}{A} + a \left(\frac{\rho}{\rho_0} \right)^\alpha + b \left(\frac{\rho}{\rho_0} \right)^\beta$$

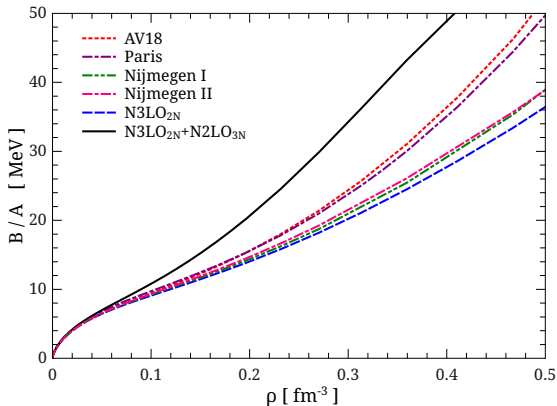


Materia simétrica

Energía por nucleón

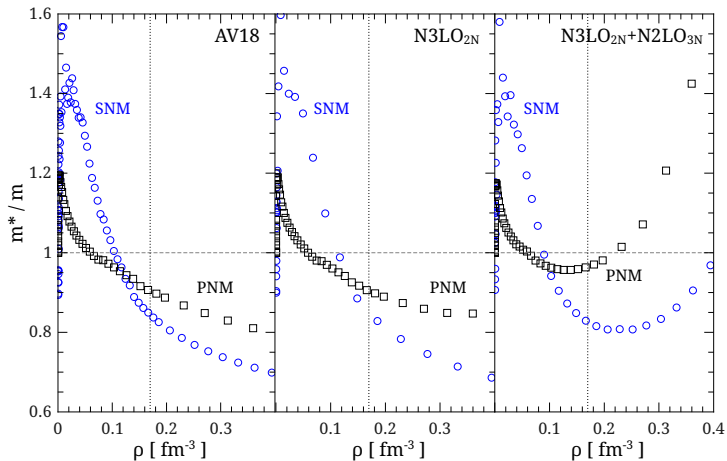
A partir de interacción de **dos cuerpos**:

$$B/A = \frac{3}{10} \frac{\hbar^2 k_F^2}{m} + \frac{1}{2} \frac{3}{k_F^3} \int_0^{k_F} k^2 dk U(k) \rightarrow \frac{K}{A} + a \left(\frac{\rho}{\rho_0} \right)^\alpha + b \left(\frac{\rho}{\rho_0} \right)^\beta$$



Materia neutrónica

$$\frac{m^*}{m} = \left[1 + \frac{m}{k} \frac{\partial U(k)}{\partial k} \right]_{k=k_F}^{-1}$$



Fuerza quiral de tres cuerpos

Entem et al., Phys. Rev. C **68**, 041001 (2003)

Tres contribuciones al nivel N2LO:

$$W_{TPE} = \sum_{i \neq j \neq k} \frac{g_A^2}{8F_\pi^4} \frac{(\sigma_i \cdot q_i)(\sigma_j \cdot q_j)}{(q_i^2 + m_\pi^2)(q_j^2 + m_\pi^2)} F_{ijk}^{\alpha\beta} \tau_i^\alpha \tau_j^\beta$$

$$W_{OPE} = - \sum_{i \neq j \neq k} \frac{C_D g_A}{8F_\pi^4 \Lambda_\chi} \frac{(\sigma_j \cdot q_j)(\tau_i \cdot \tau_j)(\sigma_i \cdot q_j)}{q_j^2 + m_\pi^2}$$

$$W_{cont} = \sum_{j \neq k} \frac{C_E}{2F_\pi^4 \Lambda_\chi} \tau_j \cdot \tau_k$$

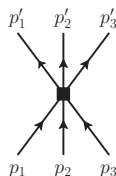
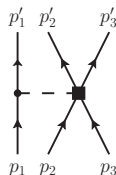
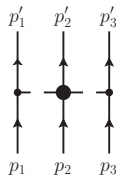
$$\Lambda_\chi = 700 \text{ MeV}$$

$$C_D = -1.11, C_E = -0.66$$

Nogga et al., Phys. Rev. C **73**, 064002 (2006)

Ajustadas a energías de ligazón de ^3H y ^4He .

$$F_{ijk}^{\alpha\beta} = \delta^{\alpha\beta} [-4m_\pi^2 c_1 + 2c_3 q_i \cdot q_j] + \sum_\gamma c_4 \epsilon^{\alpha\beta\gamma} \tau_k^\gamma \sigma_k$$



Potencial efectivo de dos cuerpos

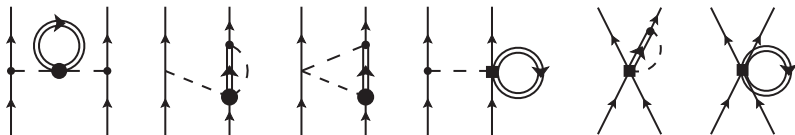
Holt et al., Phys. Rev C **81**, 024002 (2010)



Interacción efectiva de dos cuerpos al promediar la tercera partícula:

$$\langle 1'2' | \tilde{V}^{3NF} | 12 \rangle_A = \text{Tr}_{\sigma_3} \text{Tr}_{\tau_3} \int \frac{d^3 p_3}{(2\pi)^3} n(p_3) \langle 1'2'3' | W(1 - P_{13} - P_{23}) | 123 \rangle_{A_{12}}$$

Dependiente de la densidad de nucleones en el medio



Carbone et al., Phys. Rev. C 88, 044302 (2013)

- Auto-energía de Hartree-Fock:

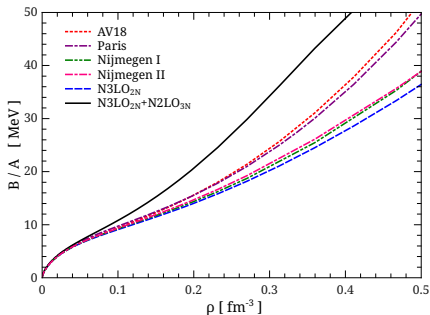
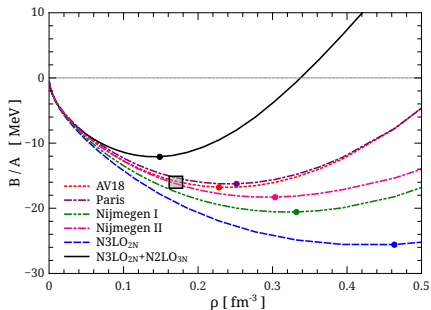
$$\Sigma_{HF}^{3N} = Tr_{\sigma_1} Tr_{\tau_1} Tr_{\sigma_2} Tr_{\tau_2} \int \frac{d^3 p_2}{(2\pi)^3} n(p_2) \langle 12 | \frac{1}{2} \tilde{V}^{3NF} (1 - P_{12}) | 12 \rangle_A$$

- Energía por nucleón:

$$B/A = \frac{3}{10} \frac{\hbar^2 k_F^2}{m} + \frac{1}{2} \frac{3}{k_F^3} \int_0^{k_F} k^2 dk U(k) - \frac{1}{12} \frac{3}{k_F^3} \int_0^{k_F} k^2 dk \Sigma_{HF}^{3N}(k)$$

Energía por nucleón

$$B/A = \frac{3}{10} \frac{\hbar^2 k_F^2}{m} + \frac{1}{2} \frac{3}{k_F^3} \int_0^{k_F} k^2 dk U(k) - \frac{1}{12} \frac{3}{k_F^3} \int_0^{k_F} k^2 dk \Sigma_{HF}^{3N}(k)$$



Di-nucleones

En el vacío:

Lippmann-Schwinger ($V|\psi\rangle = T|\phi\rangle$)

$$\begin{aligned} T &= V + V \frac{1}{z - \hat{K}} T = V + V \frac{1}{z - \hat{H}} V \\ &= V + V \sum_{\beta} \frac{|\beta\rangle\langle\beta|}{z - \epsilon_{\beta}} V \end{aligned}$$

Con ϵ_{α} la energía de un estado ligado (di-nucleón)

$$z \rightarrow \epsilon_{\alpha} + i\eta$$

$$\lim_{\eta \rightarrow 0} i\eta T(\epsilon_{\alpha} + i\eta) = V|\alpha\rangle\langle\alpha|V$$

En el medio:

Singularidades en canales 1S_0 y 3SD_1

$$g(\omega) = v + v \frac{Q}{\omega + i\eta - e_1 - e_2} g(\omega)$$

Singularidades identificadas al encontrar ceros de:

$$D_{\alpha}(K; \omega) \equiv \det[1 - v_{\alpha} \Lambda_K(\omega)]$$

Regularización matriz g :

(Arellano et al., Eur. Phys. J. A **51**, 7 (2015))

$$g(\omega) \rightarrow g(\omega) \times \frac{(\Delta\omega)^2}{(\Delta\omega)^2 + \eta^2}$$

Cerca de estado ligado:

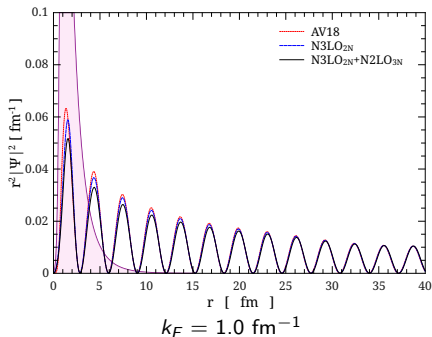
$$\lim_{\eta \rightarrow 0} i\eta g(\omega_{nn} + i\eta) = vQ|\psi\rangle\langle\psi|Qv$$

Función de onda de di-neutrones

Con estado ligado identificado se obtiene función de onda:

$$\lim_{\eta \rightarrow 0} i\eta g(\omega_{nn} + i\eta) = vQ|\psi\rangle\langle\psi|Qv \quad (\hat{e}_1 + \hat{e}_2 + QvQ)|\psi\rangle = \omega_{nn}|\psi\rangle$$

$$\rightarrow \langle k|\psi\rangle = \frac{\langle k|QvQ|\psi\rangle}{\omega_{nn} - e(k_a) - e(k_b)} \quad \rightarrow \langle r|\psi\rangle = \int d^3k e^{ikr} \langle k|\psi\rangle$$

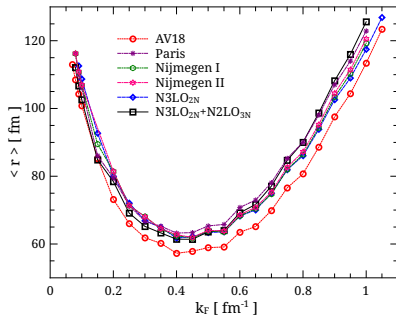


Di-neutrones en materia neutrónica

Tamaños:

$$F(s) = \int_0^\infty e^{-sr} |\Psi(r)|^2 r^2 dr$$

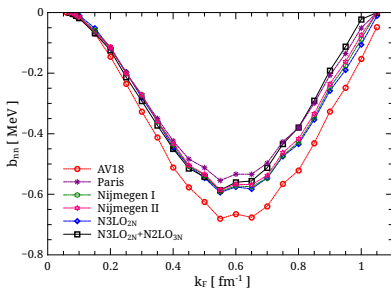
$$f(s) \equiv \frac{1}{s} \left[1 - \frac{F(s)}{\mathcal{N}} \right] \approx \langle r \rangle - \frac{1}{2} \langle r^2 \rangle s$$



Energías de ligazón:

$$b_{nn} = \omega - 2e(k_F)$$

Para di-neutrones con $K = 0$
(centro de masa en reposo):



Ecuación de BCS para gap de energía superfluido:

$$\Delta(k) = - \sum_{k'} v_{kk'} \frac{\Delta(k')}{2E(k')}$$

$$E(k)^2 = (e(k) - \mu)^2 + \Delta^2 \quad e(k) = \frac{k^2}{2m} + U(k)$$

Densidad normal:

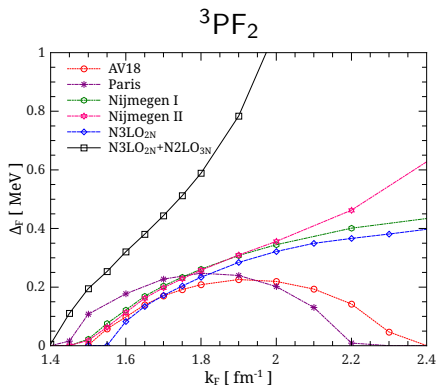
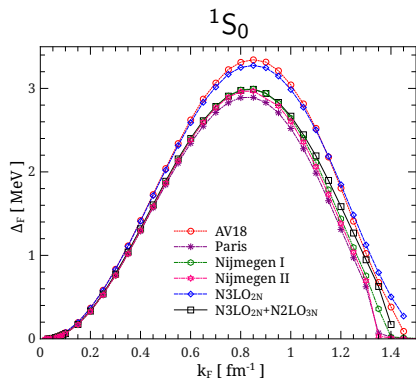
$$n(k) = \frac{1}{2} \left[1 - \frac{e(k) - \mu}{E(k)} \right]$$

Densidad de nucleones:

$$\rho = \int \frac{d^3k}{(2\pi)^3} n(k)$$

Superfluidez en materia neutrónica

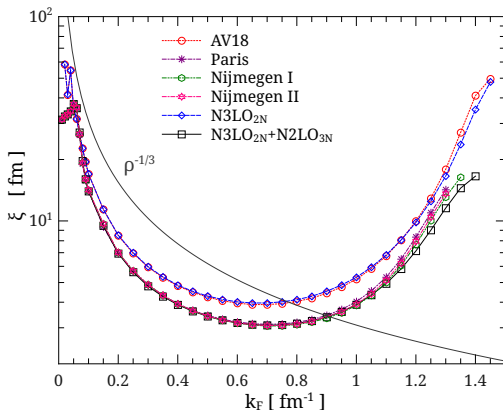
Gap de energía en k_F : $\Delta_F(k_F) = \Delta(k_F)$



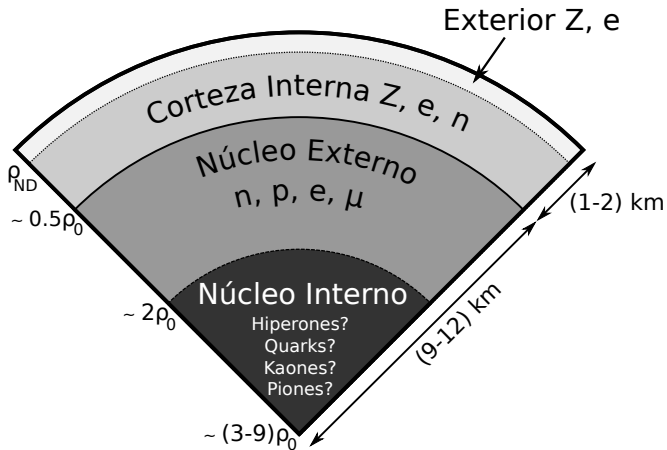
Superfluidez en materia neutrónica

Densidad anómala: $\kappa_I(k) = \frac{\Delta_I(k)}{2E(k)}$

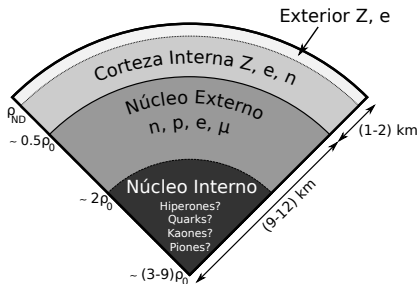
Distancia de coherencia: $\xi^2 = \frac{\int_0^\infty (\partial\kappa/\partial k)k^2 dk}{\int_0^\infty \kappa^2 k^2 dk}$



Estrellas de neutrones



Estrellas de neutrones



- Masa:
 $M \sim 1.5M_{\odot} = 3 \times 10^{30} \text{ kg}$
- Densidad:
 $\rho \approx 5 \times 10^{14} \text{ g cm}^{-3} \approx \rho_0$
- B/A :
Ecuación de estado, abundancias, masa y radio.
- m^* :
Enfriamiento, Glitches (entrainment)
- Δ_F :
Enfriamiento, Glitches

Ecuación de estado de materia β -estable

Densidad de energía:

$$\epsilon = \underbrace{\rho_p m_p c^2 + \rho_n m_n c^2 + \frac{B}{A}(\rho_p, \rho_n)\rho}_{\epsilon_{\text{bariones}}} + \underbrace{\frac{(3\pi^2 \rho_e)^{4/3}}{4\pi^2} + \frac{1}{\pi^2} \int_0^{k_{F,\mu}} \sqrt{\hbar^2 k^2 c^2 + m_\mu^2 c^4} k^2 dk}_{\epsilon_{\text{leptones}}}$$

Aproximación parabólica: $\beta = (\rho_n - \rho_p)/\rho$

$$\frac{B}{A}(\rho, \beta) \approx \frac{B}{A_{MS}}(\rho) + \beta^2 \left[\frac{B}{A_{MN}}(\rho) - \frac{B}{A_{MS}}(\rho) \right]$$

Parametrización:

$$B/A = \frac{K}{A} + a \left(\frac{\rho}{\rho_0} \right)^\alpha + b \left(\frac{\rho}{\rho_0} \right)^\beta$$

Presión:

$$P_i = \rho_i^2 \frac{\partial}{\partial \rho_i} \left(\frac{\epsilon_i}{\rho_i} \right) \quad P = P_{\text{bar}} + P_{\text{lep}}$$

Ecuación de estado de materia β -estable

Potencial químico: $\mu_i = \partial\epsilon/\partial\rho_i$

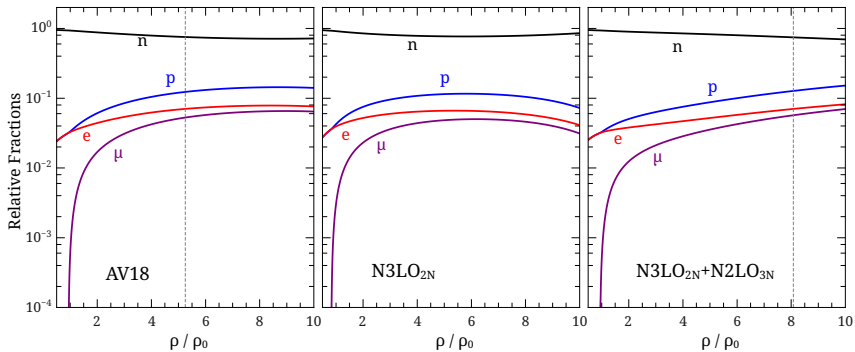
• Equilibrio β : $\mu_n = \mu_p + \mu_e$

• Neutralidad de carga: $\rho_p = \rho_e + \rho_\mu \rightarrow$

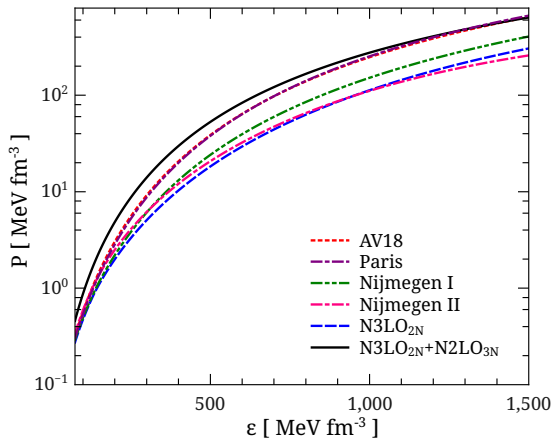
• Equilibrio leptónico: $\mu_e = \mu_\mu$

$\rho_n(\rho), \rho_p(\rho), \rho_e(\rho), \rho_\mu(\rho)$

$\epsilon(\rho), P(\rho)$



Ecuación de estado de materia β -estable



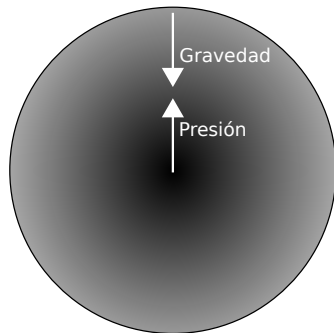
Core: β -estable

Crust: Feynman-Metropolis-Teller , Haensel- Zdunik-Dobaczewski y
Negele-Vautherin

Ecuación de Tolman–Oppenheimer–Volkoff (TOV)

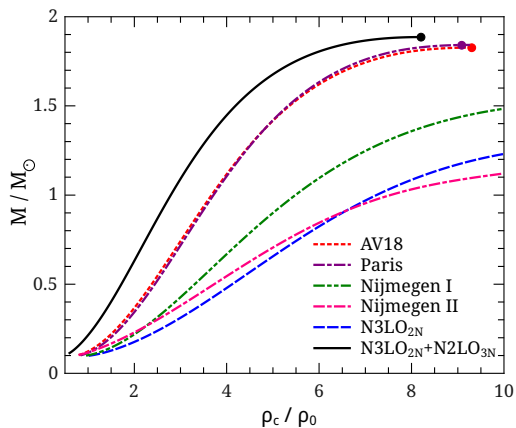
Equilibrio hidrostático para estrellas no rotantes:

$$\frac{dP(r)}{dr} = -\frac{Gm(r)\epsilon(r)}{r^2c^2} \left[1 + \frac{P(r)}{\epsilon(r)} \right] \times$$
$$\left[1 + \frac{4\pi P(r)}{c^2 m(r)} \right] \left[1 - \frac{2Gm(r)}{rc^2} \right]^{-1}$$
$$\frac{dm(r)}{dr} = 4\pi r^2 \epsilon(r) / c^2$$

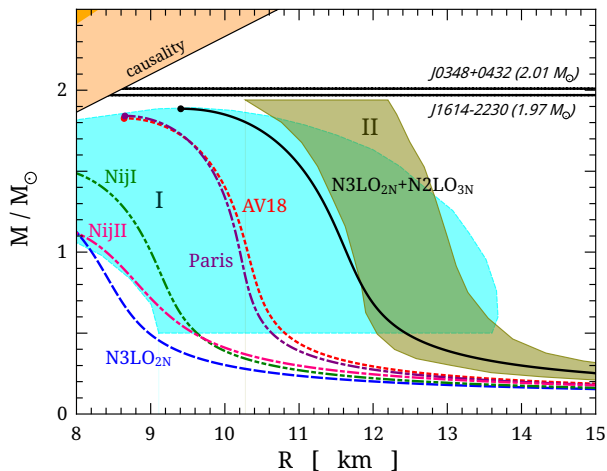


Al resolver ambas ecuaciones desde el centro de la estrella ($r = 0$) a partir de una presión central (densidad central ρ_c) hasta su superficie ($P = 0$), se obtiene una estrella con un radio R y masa M .

Ecuación de Tolman–Oppenheimer–Volkoff (TOV)



Relación masa-radio

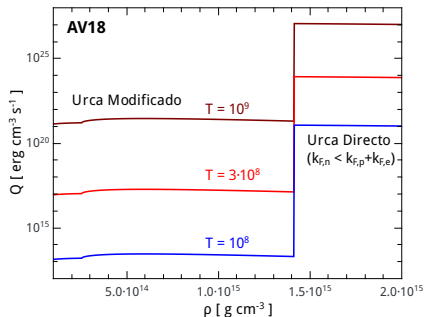


I: 90% de confianza de la relación masa-radio de *NG 6397*. Heinke et al., MNRAS **444**, 443–456 (2014)

II: Observaciones de masa y radio de binarias de baja masa con rayos X usando modelos de atmósfera que incluyen hidrogeno y helio. Lattimer et al., ApJ **784** 123 (2014)

Enfriamiento de estrellas de neutrones

- Temperaturas iniciales del orden de 10^{11} K
- Emisión de neutrinos es principal fuente de enfriamiento
- Cálculos de evolución térmica \rightarrow Curvas de enfriamiento
- Emisividad (Q), capacidad calórica (c_T) y conductividad térmica (κ) dependientes de la composición
- Superfluidez y masas efectivas de nucleones afectan evolución térmica



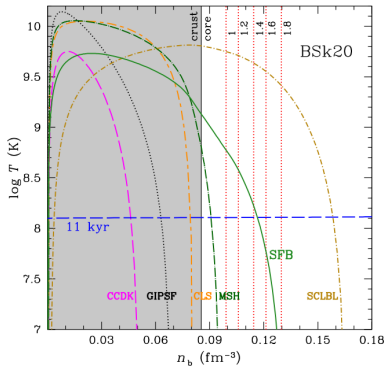
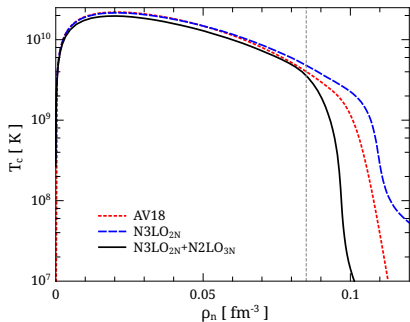
Efectos de superfluidez descritos a partir de temperatura crítica T_c

$${}^1S_0: \Delta_0/k_B T_c \sim 1.764$$

$${}^3P_2: \Delta_0/k_B T_c \sim 8.425$$

Ho et al., Phys. Rev. C **91**, 015806 (2015)

Temperatura crítica superfluidez



Ho et al., Phys. Rev. C **91**, 015806 (2015)

Ecuaciones de evolución térmica

Balance de energía:

$$\frac{e^{-\lambda(r)-2\Phi(r)}}{4\pi^2} \frac{\partial}{\partial r} \left(e^{2\Phi(r)} L(r) \right) = -Q(r) - \frac{c\tau(r)}{e^{\Phi(r)}} \frac{\partial T(r)}{\partial t}$$

Transporte de energía:

$$\frac{L(r)}{4\pi\kappa(r)r^2} = e^{-\lambda(r)-\Phi(r)} \frac{\partial}{\partial r} \left(T(r)e^{\Phi(r)} \right)$$

donde

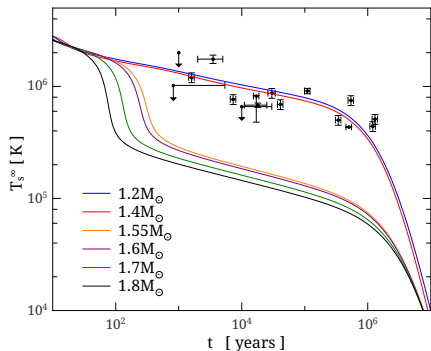
$$e^{-\lambda} = \sqrt{1 - 2Gm(r)/c^2r}$$

$$\frac{d\Phi}{dr} = -\frac{1}{\epsilon(r)} \frac{dP}{dr} \left[1 + \frac{P(r)}{\epsilon(r)} \right]^{-1}$$

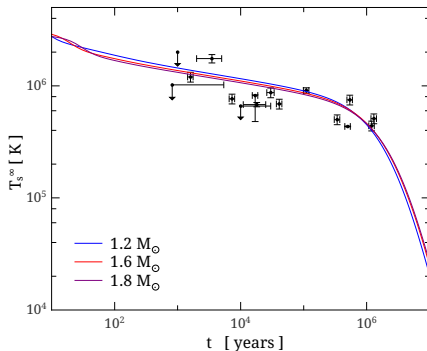
Condiciones de borde: $L(r=0) = 0$, $L(r=R) = 4\pi R^2 \sigma_{SB} T^4(R)$

Curvas de enfriamiento

AV18:



N3LO_{2N}+N2LO_{3N}:



Datos observacionales: Yakovlev et al., AIP Conf.Proc. **983**, 379-387 (2008)

- Se han estudiado diversas propiedades de materia nuclear y de estrellas de neutrones utilizando un mismo esquema para materia nuclear
- No se ha logrado reproducir el punto de saturación de materia simétrica y no se han obtenido estrellas de neutrones de dos masas solares
- ¿Contacto entre superfluidez y di-nucleones?
- Cálculos de propiedades de materia nuclear con temperatura finita y para materia asimétrica

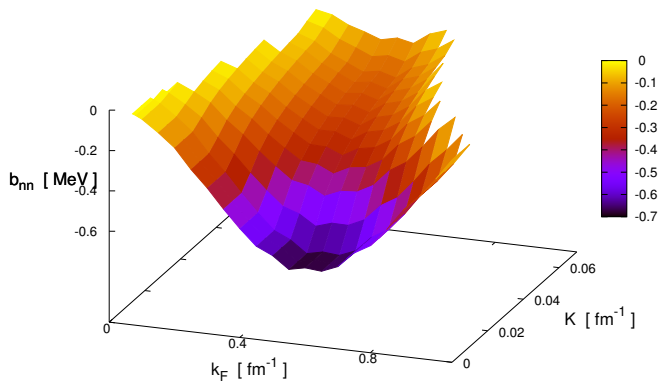


Materia nuclear y la ecuación de estado de estrellas de neutrones

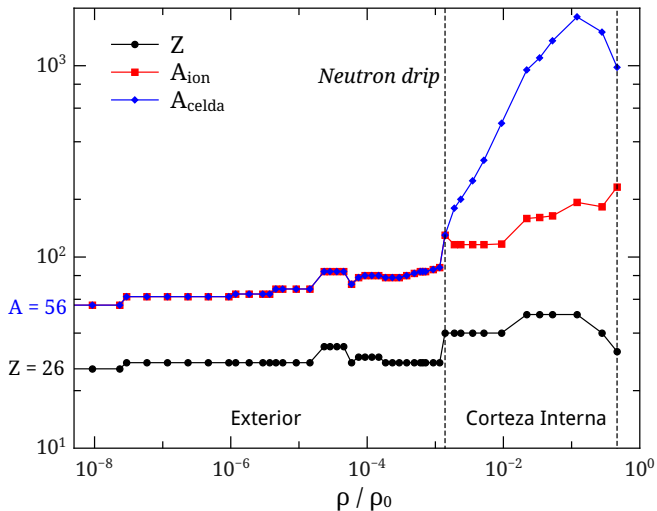
Felipe Isaule

Viernes 3 de Junio de 2015

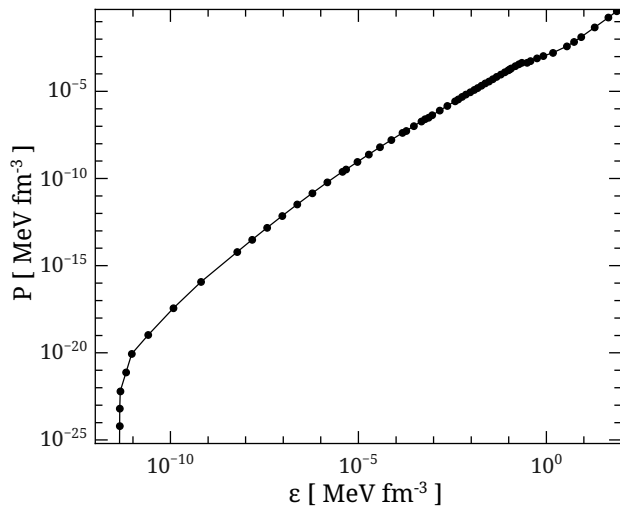
Energía de ligazón de di-neutrones



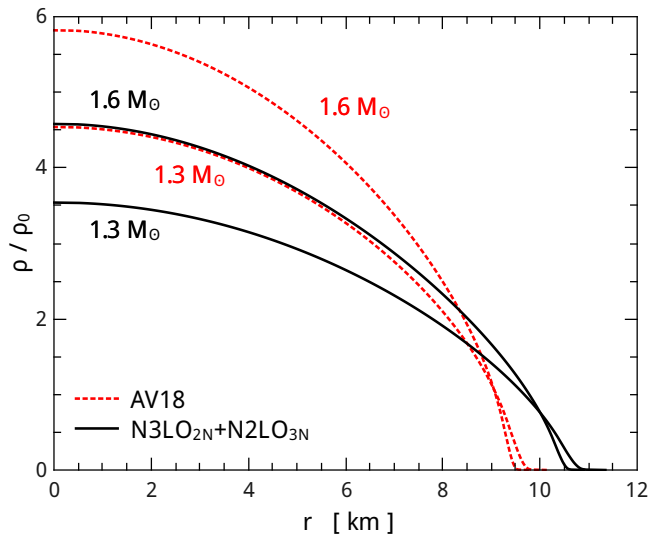
Corteza de estrellas de neutrones



Corteza de estrellas de neutrones



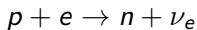
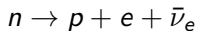
Perfil densidad interior de estrellas de neutrones



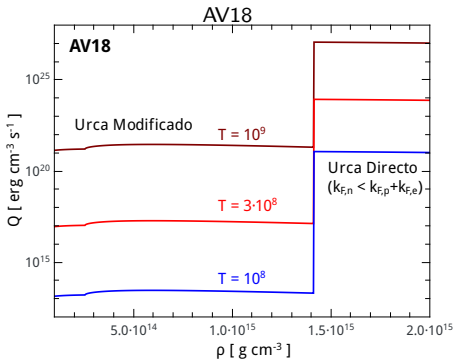
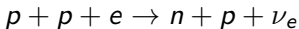
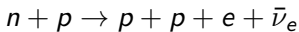
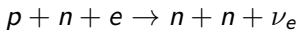
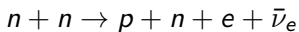
Emisividad de neutrinos

- Urca directo

$$(k_{F,n} < k_{F,p} + k_{F,e})$$



- Urca modificado



Urca directo:

$$Q^D = \frac{457\pi}{10080} G_F^2 \cos^2 \theta_C (1 + 3g_A^2) \frac{m_n^* m_p^* m_e^*}{\hbar^{10} c^3} (k_B T)^6 \Theta(k_{F,p} + k_{F,e} - k_{F,n})$$

Urca modificado:

$$Q^{Mn} = \frac{11513}{30240} \frac{G_F^2 \cos^2 \theta_C g_A^2 (m_n^*)^3 m_p^*}{2\pi} \left(\frac{f\pi}{m_\pi} \right)^4 \frac{k_{F,p} (k_B T)^8}{\hbar^9 c^8} \alpha_n \beta_n$$

$$Q^{Mp} = Q^{Mn} \left(\frac{m_p^*}{m_n^*} \right) \frac{(k_{F,e} + 3k_{F,p} - k_{F,n})^2}{8k_{F,e} k_{F,p}} \Theta(3k_{F,p} + k_{F,e} - k_{F,n})$$

Superfluididad

- Superfluididad afecta emisividad y capacidad calórica

$$Q = Q_0 R_Q(\tau) \quad C = C_0 R_C(\tau)$$

$$\tau = T/T_c$$

- Proceso de emisión de neutrinos
- Efectos de superfluides descritos a partir de temperatura crítica

No acoplado: $\Delta_0/k_B T_c \sim 1.764$

Acoplado: $\Delta_0/k_B T_c \sim 8.425$

Ho et al., Phys. Rev. C **91**, 015806 (2015)

